

群体魚礁周辺の流況シミュレーション

大阪大学 工学部 正員 橋本 亨
 大阪大学 工学部 正員 松見 吉晴
 兵庫県立 正員 林 健児

1 えきがき: 先に著書では、群体魚礁周辺の流れが魚礁間の干渉効果の大小により大きく変化し、2個の並列無孔角柱モデルの場合魚礁モデルの設置間距離の変化に伴って流れが2種類のパターンと全類で異なることを振動流実験で明らかにした。そこで本研究は無孔群体魚礁周辺の2次元流況を数値シミュレーションによることで求め、流況変動に及ぼす魚礁間の干渉効果を明らかにしておこうとアリモトである。そして数値シミュレーションにおいては任意形状物体の表示に用いられておる渦を出し分布法と物体背後後流渦を表示する複数渦系モデル法を併用して手法を行おう。

2 解析方法: 本解析手法は魚礁周辺の流れをボテンシャル流と仮定し、それを表示する複素速度ボテンシャルW₀を魚礁が無い場合の複素速度ボテンシャルW₀と魚礁表面、境界条件を満足させるために図-1に示すように魚礁表面上に分布させた渦を出しの複素速度ボテンシャルW_Rの和で与える。そしてW_Rは次式で与えられる。

$$W_R = \frac{1}{2\pi} \sum_{k=1}^m D(Z_k) \log(Z - Z_k) \quad (1)$$

ここで、Z_k・D(Z_k)は渦を出し点の位置及びその強さ、mは渦を出し点の個数(ここでM=100)である。今が魚礁モデル隅角部についてでは図-1に示すように小エッジ半径(r=0.1cm)の円弧で近似してある。一方、W₀はつけては次式で与えられる。

$$W_0 = U_m Z \sin \omega t + \frac{i}{2\pi} \sum_{j=1}^N T_{jk} \log(Z - Z_{jk}) - \frac{i}{2\pi} \sum_{j=1}^N T_{jk} \log(Z - \bar{Z}_{jk}) \quad (2)$$

ここで、T_{jk}は主流の最大速度、 $\omega = 2\pi/T$ 、Tは振動流の周期、Z_{jk}・Z_{jk̄}はj位置より発生した渦の循環(右回りを正)の位置である。次に、式(1)における渦を出しの強さD(Z_k)を決定は魚礁表面上に設置した渦を出し点Z_kに沿って法線方向の速度成分がゼロとなる境界条件から行なう。すなはち、W_Rと、て諸起因からZ_k点にかけた速度成分をU_x(Z_k)・U_y(Z_k)とすれば、D(Z_k)は式(3)のm元連立方程式の解で与えられる。

$$U_x(Z_k) N_{xk} + U_y(Z_k) N_{yk} = -\frac{1}{2} D(Z_k) \left| - \sum_{l=1, l \neq k}^m \frac{D(Z_l)}{2\pi} \frac{(x_k - x_l) N_{xl} + (y_k - y_l) N_{yl}}{(x_k - x_l)^2 + (y_k - y_l)^2} \Delta C_k \right| \quad (3)$$

ここで、l=1, 2, ..., m, N_{xl}, N_{yl}はZ_l=x_l+iy_lにおける単位法線複素数のx, y方向成分、 ΔC_k は魚礁表面をm個に分割した線素分を表す。そして渦の発生位置kについては魚礁モデルが直方角柱であることからモデル隅角部より振動流境界層の厚さ($\sqrt{\nu T}/\pi$, ν : 動粘性係数)だけずらして位置の計4点とし。そして各渦の循環については物体表面上の境界層内の渦度流束により与えられ、その渦の移動については従来、渦系に関する運動学の方程式に基づいて算定している。

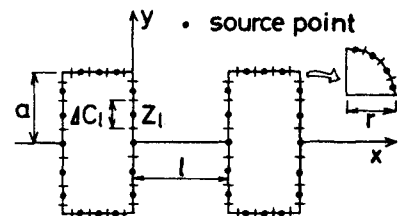


図-1 渦を出し点の位置

3) 計算結果：図-2(A・B・C)は上述した手法に基いて3種類の魚礁間距離 $l/L_e=0.8, 1.4, 1.8$ に対する時間波相 $\omega t=135^\circ$ の計算結果を示したもので、図中矢印は各位置での流速ベクトル、米印と◇印は各々前方魚礁と後方魚礁から掃き出された渦糸の存在位置を表わし、実線はこの計算結果より判定して後流渦領域を示すものである。又が同図A・B・Cの実験結果における流れはそれを図-2に併記してある流れパターンのA-I・A-II・A-IIIに該当する。またAの図では前方魚礁より発生した渦糸(米)が後方魚礁まで到達し実験結果と同様である後流渦領域が認められる。Cの図では前方及び後方魚礁背後の後流渦領域が各々独立した形状を示し、A-IIIの流れパターンを再現していることがわかる。そしてBの図では前方及び後方魚礁より発生した渦糸が個々の後流渦を形成しているが、前方魚礁背後の後流渦領域が後方魚礁前面まで達しており、全体としては実験結果と同様A-IIの流れパターンを再現していると思われる。次に、この解析手法を定量的に検証するため A-I
K魚礁間距離の変化に伴う後流長変化について実験結果と比較しての
図-3,4で、流れパターン領域についても併記している。図中 L_{cr} ,
 L_{cb} は計算結果より求めた前方及び後
(A) $l/L_e=0.8$
方の後流長、 L_e, L_{cr} は実験結果のもの
を表わし、 L_e, L_{cr} は単体の場合の実験
及び計算結果の後流長を示す。両図
より前方の後流長については計算結果
と実験結果の間によい一致が認め
(B) $l/L_e=1.4$

られるが、後方のそれに関しては
K-C数が大きい図-4で多少の差異
がある。又に流れパターン領域につ
いてもK-C数の大きい場合には実験
結果と異り、である。以上のことは
(C) $l/L_e=1.8$
り本手法はK-C数の小さい場合は群
体魚礁周辺の流れを定性的及ぶ定量
的によく再現し得るが、水平水粒子
移動が増大するK-C数の大きい場合
は渦糸の減衰を考慮していないこと
から今が問題と残っている。

<参考文献>
1) 横不亮・松見吉晴:群体魚礁の背後流れ
について(関西支部年講誌56),
2) 中村厚幸・模木太司:小魚分布法による渦力の算定法
K-C, 第3回年次講演会, 昭56.

図-2 群体魚礁周辺の流れ図($K-C=8.4, Re=4300$)

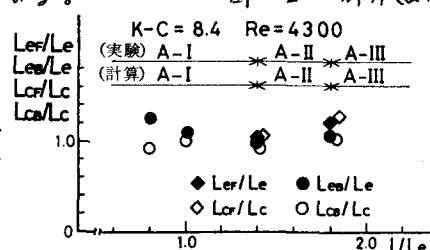


図-3 後流長と l の関係

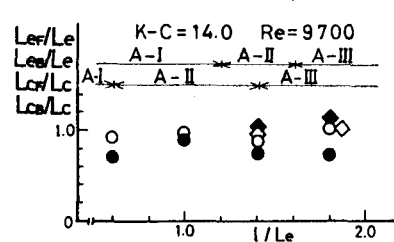


図-4 後流長と l の関係